

Dinâmica e Sistemas Dinâmicos

Navegação: [DEF](#) → [Dinâmica e Sistemas Dinâmicos](#) [Formulário](#) ([Mostrar tabela de conteúdo](#))

Formulário

1. Cinemática

$$v = \frac{ds}{dt}$$

$$a_t = \frac{dv}{dt}$$

$$a_t = v \frac{dv}{ds}$$

$$v_x = \frac{dx}{dt}$$

$$a_x = \frac{dv_x}{dt}$$

$$a_x = v_x \frac{dv_x}{dx}$$

2. Cinemática vetorial

$$\vec{a} \cdot \vec{b} = ab \cos \theta = a_x b_x + a_y b_y + a_z b_z$$

$$a = \sqrt{\vec{a} \cdot \vec{a}}$$

$$\vec{r} = x \hat{i} + y \hat{j} + z \hat{k}$$

$$\vec{v} = \frac{d\vec{r}}{dt}$$

$$\vec{a} = \frac{d\vec{v}}{dt}$$

$$\vec{r} = \vec{r}_0 + \int_0^t \vec{v} dt$$

$$\vec{v} = \vec{v}_0 + \int_0^t \vec{a} dt$$

Movimento relativo:

$$\vec{r}' = \vec{r} + \vec{r}'_O$$

$$\vec{v}' = \vec{v} + \vec{v}'_O$$

$$\vec{a}' = \vec{a} + \vec{a}'_O$$

3. Movimento curvilíneo

$$\vec{a} \times \vec{b} = -\vec{b} \times \vec{a}$$

$$\vec{a} \times \vec{b} = ab \sin \theta \hat{n} = \begin{vmatrix} \hat{i} & \hat{j} & \hat{k} \\ a_x & a_y & a_z \\ b_x & b_y & b_z \end{vmatrix}$$

$$\vec{v} = \dot{s} \hat{e}_t$$

$$\vec{a} = \dot{v} \hat{e}_t + \frac{v^2}{R} \hat{e}_n$$

$$a^2 = a_t^2 + a_n^2$$

Movimento circular:

$$s = R \theta$$

$$v = R \omega$$

$$a_t = R \alpha$$

Rotação plana:

$$\vec{\omega} = \omega \hat{e}_{\text{axis}}$$

$$\vec{v} = \vec{\omega} \times \vec{r}$$

$$\vec{a} = \vec{\alpha} \times \vec{r} + \vec{\omega} \times \vec{v}$$

$$\omega = \frac{d\theta}{dt}$$

$$\alpha = \frac{d\omega}{dt}$$

$$\alpha = \omega \frac{d\omega}{d\theta}$$

4. Mecânica vetorial

$$\int_{t_1}^{t_2} \sum_{i=1}^n \vec{F}_i dt = \vec{p}_2 - \vec{p}_1$$

$$\vec{p} = m \vec{v}$$

$$\sum_{i=1}^n \vec{F}_i = m \vec{a}$$

$$\vec{P} = m \vec{g}$$

$$F_e \leq \mu_e R_n$$

$$F_c = \mu_c R_n$$

Esfera num fluido:

$$N_R = r v \left(\frac{\rho}{\eta} \right)$$

$$F_f = 6 \pi \eta r v \quad (N_R < 1)$$

$$F_f = \frac{\pi}{4} \rho r^2 v^2 \quad (N_R > 10^3)$$

5. Dinâmica dos corpos rígidos

$$M_O = F b$$

$$\vec{M}_O = \vec{r} \times \vec{F}$$

$$M_z = \begin{vmatrix} x & y \\ F_x & F_y \end{vmatrix}$$

$$\vec{r}_{cm} = \frac{1}{m} \int \vec{r} dm$$

$$\vec{v}_{\text{cm}} = \frac{1}{m} \int \vec{v} \, dm \qquad \vec{a}_{\text{cm}} = \frac{1}{m} \int \vec{a} \, dm \qquad \sum_{i=1}^n \vec{F}_i = m \vec{a}_{\text{cm}} \qquad \sum_{i=1}^n M_{z,i} = I_z \alpha$$

$$I_z = \int R^2 \, dm$$

6. Trabalho e energia

$$W_{12} = \int_{s_1}^{s_2} F_t \, ds \qquad W_{12} = E_c(2) - E_c(1) \qquad E_c = \frac{1}{2} m v_{\text{cm}}^2 + \frac{1}{2} I_{\text{cm}} \omega^2 \qquad U = - \int_{\vec{r}_0}^{\vec{r}} \vec{F} \cdot d\vec{r}$$

$$W_{12} = U(1) - U(2) \qquad U_g = m g z \qquad U_e = \frac{1}{2} k s^2 \qquad E_m = E_c + U$$

$$\int_{s_1}^{s_2} F_t^{\text{nc}} \, ds = E_m(2) - E_m(1) \qquad \Omega = \sqrt{\frac{k}{m}} = 2\pi f \qquad s = A \sin(\Omega t + \phi_0) \qquad E_m = \frac{1}{2} m v^2 + \frac{1}{2} k s^2$$

7. Sistemas dinâmicos

$$\dot{x}_1 = f_1(x_1, x_2) \qquad \dot{x}_2 = f_2(x_1, x_2) \qquad \vec{u} = f_1(x_1, x_2) \hat{e}_1 + f_2(x_1, x_2) \hat{e}_2 \ddot{x} = f(x, \dot{x})$$

$$y = \dot{x} \qquad \vec{u} = y \hat{i} + f(x, y) \hat{j}$$

Sistemas conservativos:

$$\frac{\partial f_1}{\partial x_1} + \frac{\partial f_2}{\partial x_2} = 0 \qquad f_1 = \frac{\partial H}{\partial x_2} \qquad f_2 = -\frac{\partial H}{\partial x_1}$$

Ponto de equilíbrio = $\vec{0}$ (estável ou instável).

Ciclo curva fechada no espaço de fase.

Órbita homoclínica começa e termina no mesmo ponto de equilíbrio instável.

Órbita heteroclínica ligam vários pontos de equilíbrio instável.

8. Mecânica lagrangiana

$$\frac{d}{dt} \left(\frac{\partial E_c}{\partial \dot{q}_j} \right) - \frac{\partial E_c}{\partial q_j} + \frac{\partial U}{\partial q_j} = Q_j \qquad Q_j = \sum_i \vec{F}_i \cdot \frac{\partial \vec{r}_i}{\partial q_j}$$

$$\frac{d}{dt} \left(\frac{\partial E_c}{\partial \dot{q}_j} \right) - \frac{\partial E_c}{\partial q_j} + \frac{\partial U}{\partial q_j} - \lambda \frac{\partial f}{\partial q_j} = Q_j \qquad \lambda \frac{\partial f}{\partial q_j} = \text{força de ligação}$$

9. Sistemas lineares

$$\frac{d\vec{r}}{dt} = \mathbf{A} \vec{r} \qquad \vec{r} = \begin{bmatrix} x_1 \\ x_2 \end{bmatrix} \qquad \mathbf{A} = \begin{bmatrix} A_{11} & A_{12} \\ A_{21} & A_{22} \end{bmatrix}$$

Valores próprios $\lambda^2 - \text{tr}(\mathbf{A}) \lambda + \det(\mathbf{A}) = 0$

Valores próprios λ	Tipo de ponto	Estabilidade
2 reais; sinais opostos	ponto de sela	instável
2 reais, positivos	nó repulsivo	instável
2 reais, negativos	nó atrativo	estável
2 complexos; parte real positiva	nó repulsivo	instável
2 complexos; parte real negativa	nó atrativo	estável
2 imaginários	centro	estável
1 real, positivo	nó impróprio repulsivo	instável
1 real, negativo	nó impróprio atrativo	estável

10. Sistemas não lineares

$$\text{Matriz jacobiana: } J = \begin{bmatrix} \frac{\partial f_1}{\partial x_1} & \frac{\partial f_1}{\partial x_2} \\ \frac{\partial f_2}{\partial x_1} & \frac{\partial f_2}{\partial x_2} \end{bmatrix}$$

(Em cada ponto de equilíbrio é a matriz da aproximação linear do sistema.)

11. Ciclos limite e dinâmica populacional

Ciclo limite Ciclo isolado no espaço de fase.

Sistemas de duas espécies:

$$\dot{x} = f(x, y)$$

$$\dot{y} = g(x, y)$$

$$\lim_{x \rightarrow 0} f(x, y) = 0$$

$$\lim_{y \rightarrow 0} g(x, y) = 0$$

12. Sistemas caóticos

Conjunto limite positivo $(\Gamma^+) =$ onde se aproxima a curva $\rightarrow \infty$

Conjunto limite negativo $(\Gamma^-) =$ onde se aproxima a curva $\rightarrow -\infty$

Divergência: $\nabla \cdot \vec{u} = \frac{\partial f_1}{\partial x_1} + \frac{\partial f_2}{\partial x_2}$

Teorema de Poincaré-Bendixon Num sistema com apenas duas variáveis de estado, se existir um conjunto limite, este será um dos três casos seguintes:

1. ponto de equilíbrio;
2. ciclo;
3. órbita homoclínica ou heteroclínica.

Com 3 ou mais variáveis de estado, um conjunto limite que não seja nem um dos três casos é um atrator estranho.

Crítério de Bendixson Num sistema dinâmico com apenas duas variáveis de estado, se numa região simplesmente conexa sempre positiva ou sempre negativa, nessa região não existem nem ciclos nem órbitas.

Energia Potencial Elástica:

$$U_e = \frac{1}{2} k s^2$$

$$|F_e| = k s$$

Forças conservativas:

$$F_t^c = -\frac{dU}{ds}$$

$$E_c = \frac{1}{2} m v_{cm}^2 + \frac{1}{2} I_{cm} \omega^2$$

$$U = - \int_{\vec{r}_0}^{\vec{r}} \vec{F} \cdot d\vec{r}$$

SISTEMAS AUTÔNOMOS

São os sistemas (com movimento de translação) em que para usar um grau de liberdade, logo será generalizado a força resultante na depende explicitamente do tempo: $F_t = f(s, v)$ como s e v são função do tempo, F_t dependerá implicitamente de t .

1. Modelo de Malthus

$$f(x, t) = a = \text{constante positiva}$$

$$\Rightarrow \frac{dx}{dt} = f(x, t) = a x \quad (\text{EDO de variáveis separáveis})$$

$$\Rightarrow \int_{x_0}^x \frac{dx}{x} = \int_0^t a dt \Rightarrow \ln\left(\frac{x}{x_0}\right) = at$$

$$x(t) = x_0 e^{at} \quad \text{crescimento exponencial da população}$$

Equação diferencial

$$\frac{d^2 y}{dx^2} + y \left(\frac{dy}{dx} \right)^2 + \cos y = 3y$$

pode ser escrita como sistema dinâmico autônomo:

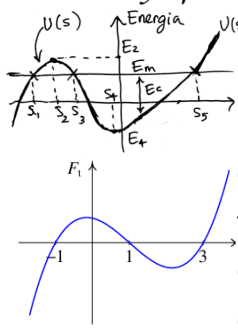
$$\begin{cases} \frac{dy}{dx} = u & \text{variáveis de estado: } (y, u) \\ \frac{du}{dx} = 3y - y u^2 - \cos y & \text{variável independente: } x \text{ (em vez de } t) \end{cases}$$

Unidade SI de trabalho e energia

$$1 \text{ joule} = 1 \text{ J} = 1 \text{ N} \cdot \text{m} = 1 \text{ kg} \cdot \frac{\text{m}^2}{\text{s}^2}$$

O trabalho realizado por uma força conservativa, entre dois pontos P e Q é igual à energia potencial inicial, U_P , menos a energia potencial final, U_Q .

Análise gráfica.



No gráfico da Energia Potencial (U) os máximos da função são pontos de equilíbrio instável e os mínimos são pontos de equilíbrio estável.

Nos gráficos da Força tangencial os pontos de equilíbrio são as raízes da função (zeros da função). Se o zero vier do negativo para o positivo o equilíbrio é instável, se o zero vier do positivo para o negativo o equilíbrio é estável.

SISTEMAS CONSERVATIVOS

São os sistemas em que E_m permanece constante (as forças não conservativas não realizam trabalho)

O trabalho da força resultante, no centro de massa do corpo, é igual ao aumento da energia cinética de translação

2. Modelo logístico. Também chamado de Verhulst. A taxa de natalidade é constante, a , mas a taxa de mortalidade aumenta diretamente proporcional à população.

como $H(x_1, x_2) = C$. A condição necessária e suficiente para que um sistema seja conservativo é:

$$\frac{\partial f_1}{\partial x_2} + \frac{\partial f_2}{\partial x_1} = 0 \quad \text{divergência da velocidade de fase nula em todo o espaço de fase.}$$

SISTEMA DE LOTKA-VOLTERRA

$\begin{cases} \dot{x} = x(a - cy) \\ \dot{y} = y(bx - d) \end{cases}$ é um sistema predador-presa em que x são presas e y predadores (a, b, c e d positivas)

- A população de presas aumenta exponencialmente se não existirem predadores.
- A população de predadores diminui até zero se não existirem presas.

Um modelo mais realista, de **Holling-Tanner**, tem apenas um ciclo limite:

$$\dot{x} = x \left(1 - \frac{x}{T} \right) - \frac{bx y}{1 + tx} \quad \dot{y} = \frac{y}{T} \left(1 - \frac{y}{x} \right)$$

x = presas, y = predadores

Teorema do trabalho e energia mecânica.

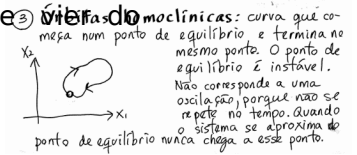
O trabalho das forças não conservativas é igual ao aumento da energia mecânica do corpo.

① Curvas que começam/terminam num ponto de equilíbrio. Exemplos:



② Ciclos: curvas fechadas.

Um ciclo corresponde a uma solução do sistema, que se repete indefinidamente no tempo: oscilação. Dentro do ciclo deve haver um ponto de equilíbrio estável ou instável.



④ Órbitas heteroclínicas: sequência de n curvas que ligam n pontos de equilíbrio (instáveis). Começa no primeiro ponto e termina no ponto P_2 . C_2 vai de P_2 a P_3 , ..., C_n vai de P_n até P_1 . Cada curva C_i é uma solução diferente.

$$\frac{d}{dt} \left(\frac{\partial E_c}{\partial \dot{q}_j} \right) - \frac{\partial E_c}{\partial q_j} = Q_j \quad j = 1, \dots, n$$

$$\frac{d}{dt} \left(\frac{\partial E_c}{\partial \dot{q}_j} \right) - \frac{\partial E_c}{\partial q_j} + \frac{\partial U}{\partial q_j} = Q_j \quad j = 1, \dots, n$$

$$\frac{d}{dt} \left(\frac{\partial E_c}{\partial \dot{q}_j} \right) - \frac{\partial E_c}{\partial q_j} + \frac{\partial U}{\partial q_j} - \lambda \frac{\partial f}{\partial q_j} = Q_j$$

$$\lambda^2 - \text{tr}(\mathbf{A}) \lambda + \det(\mathbf{A}) = 0$$

Valores próprios λ	Tipo de ponto	Equilíbrio
2 reais; sinais opostos	ponto de sela	instável
2 reais, positivos	nó repulsivo	instável
2 reais, negativos	nó atrativo	estável
2 complexos; parte real positiva	foco repulsivo	instável
2 complexos; parte real negativa	foco atrativo	estável
2 imaginários	centro	estável
1 real, positivo	nó impróprio	instável
1 real, negativo	nó impróprio	estável

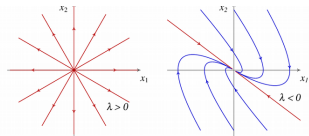


Figura 9.9: Retratos de fase de um nó próprio instável (esquerda) e de um nó impróprio estável (direita).

Comandos fixos

eigenvectors(matriz)

eigenvalues(matriz)

coefmatrix(lista_equacoes, lista_variaveis)

plotdf(lista_equacoes, lista_variaveis, (opcional))

intervalo_angular, fase_trajetoria para pontos ligados por evoluiçao

jacobian(lista_equacoes, lista_variaveis, gravidade)/

rk(lista_equacoes, lista_variaveis, (massa1+massa2+massa2)/2)

lista_valores_iniciais_variaveis

[variavel_independente, valor_inicial, valor_final, incremento]

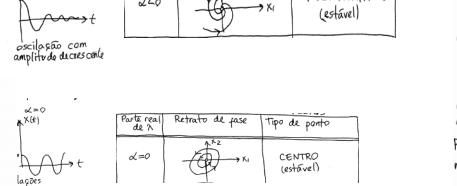
12.massa2*gravidade-massa2*aceleração

Usar quando Q_j representa a generalizada que resulta da contribuição de todas (conserva e não conservativas) representa a força generalizada que resulta da contribuição apenas das forças não conservativas

Usar quando é preciso calcular forças de ligação

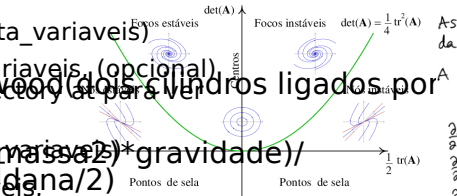
Sistema conservativo -> traço d matriz = 0

Sistema linear -> matriz jacobiana constante

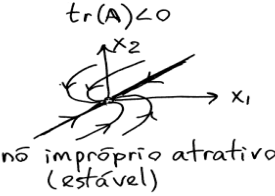


Frequência angular (Ω) = parte imaginária de λ

$$\Omega = 2\pi f \quad (f = \text{frequência} = \frac{1}{\text{período}})$$



12.massa2*gravidade-massa2*aceleração



CICLOS LIMITE

Nos limites $t \rightarrow \infty$ ou $t \rightarrow -\infty$, as curvas de evolução podem aproximar-se assintoticamente de um ponto de equilíbrio ou também de uma curva fechada (ciclo).

Coordenadas polares. Em alguns casos, a mudança de variáveis para um ponto de equilíbrio ajuda a descobrir ciclos limite. A derivada \dot{r} igual a zero indica a presença de ciclos limite.

No caso do exemplo no início da aula, em que a velocidade da fase está na variável θ e o ponto de equilíbrio é a origem, as coordenadas polares são:

$$[x, y] = [r \cos(\theta), r \sin(\theta)]$$

definem-se as derivadas de r e θ :

$$\frac{dr}{dt} = f(r, \theta), \quad \frac{d\theta}{dt} = g(r, \theta)$$

e substituem-se as coordenadas polares nas duas equações de evolução:

$$\text{subst}([x, y], [r, \theta], [diff(r, t) = ur], [diff(\theta, t) = u\theta]);$$

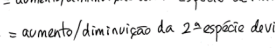
e resolvem-se essas duas novas equações para encontrar expressões para r e θ :

$$\text{solve}([r, \theta, u]);$$

o gráfico de r para um valor qualquer de θ , por exemplo $\theta = 0$:

$$\text{plotd}([r, \theta](-3) + r, [r, \theta, 0]);$$

mostra que há um ciclo limite entre $r=0$ e $r=0.8$, onde $\dot{r}=0$.



SISTEMAS DE DUAS ESPÉCIES

$x(t)$ e $y(t)$ são as populações das duas espécies, que interagem entre si:

$$\begin{cases} \dot{x} = f(x, y) \\ \dot{y} = g(x, y) \end{cases}$$

As duas funções f e g deverão ter as seguintes propriedades:

$$f(0, y) = g(x, 0) = 0$$

A matriz jacobiana é:

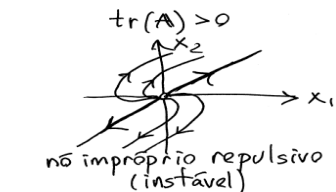
$$J(x, y) = \begin{bmatrix} \frac{\partial f}{\partial x} & \frac{\partial f}{\partial y} \\ \frac{\partial g}{\partial x} & \frac{\partial g}{\partial y} \end{bmatrix}$$

$\frac{\partial f}{\partial x}$ = aumento/diminuição próprio da 1ª espécie.

$\frac{\partial g}{\partial y}$ = aumento/diminuição próprio da 2ª espécie.

$\frac{\partial f}{\partial y}$ = aumento/diminuição da 1ª espécie devido à 2ª.

$\frac{\partial g}{\partial x}$ = aumento/diminuição da 2ª espécie devido à 1ª.



SISTEMA DE LOTKA-VOLTERRA

$\begin{cases} \dot{x} = x(a - cy) \\ \dot{y} = y(bx - d) \end{cases}$ é um sistema predador-presa em que x são presas e y predadores (a, b, c e d positivas)

A população de presas aumenta exponencialmente se não existirem predadores.

A população de predadores diminui até zero se não existirem presas.

O problema deste modelo é que as oscilações das populações podem ser desde valores quase nulos até valores muito elevados

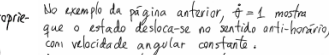
Sistemas lineares têm um único ponto de equilíbrio origem.

Um sistema não linear com n pontos de equilíbrio pode ser aproximado, nas vizinhanças desses pontos, por n sistemas lineares diferentes

O ciclo limite é atrativo porque para r menor do que no ciclo limite r aumenta ($\dot{r} > 0$) e para valores superiores r diminui ($\dot{r} < 0$).

$r=0$ também dá $\dot{r}=0$, porque $r=0$ é ponto de equilíbrio.

tem casos mais complicados, o gráfico de r em função de θ , para algum valor de θ , pode ser, por exemplo:



No exemplo da página anterior, $\dot{\theta} = 1$ mostra que o estado desloca-se no sentido anti-horário, com velocidade angular constante.

As curvas de evolução são oscilações com frequência angular $\Omega = 1$ e amplitude crescente, dentro do ciclo limite, ou decrescente fora do ciclo limite.

1. Sistema predador-presa. $\frac{\partial f}{\partial y}$ e $\frac{\partial g}{\partial x}$ com sinais diferentes

2. Sistema com cooperação. $\frac{\partial f}{\partial y}$ e $\frac{\partial g}{\partial x}$ positivos

3. Sistema com competição. $\frac{\partial f}{\partial y}$ e $\frac{\partial g}{\partial x}$ negativos